

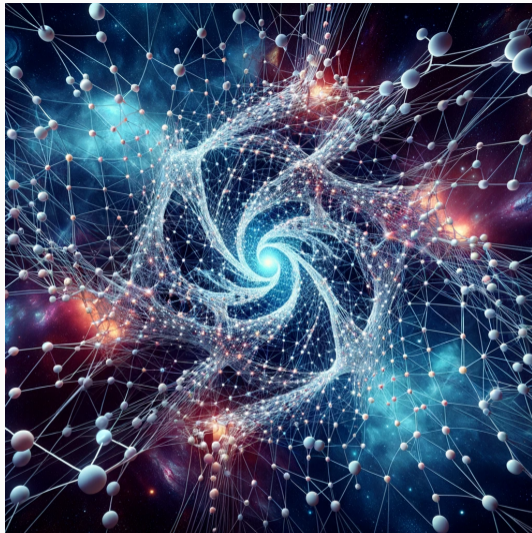
繰り込み群と量子誤り訂正

Takaaki Kuwahara¹

Based on arXiv:2211.05534 with Gota Tanaka², Asato Tsuchiya¹, Kazushi Yamashiro
and ongoing work with Ryota Nasu¹, Gota Tanaka², Asato Tsuchiya¹

2023年11月15日, Tensor Network 2023

¹Shizuoka University, ²Doshisha University



Emergent spacetime from tensor network
created by ChatGPT(DALL-E)

動機

AdS/CFT の文脈における，**境界上の場の理論からのバルク重力の構成** (Bulk reconstruction)

結果

- 厳密繰り込み群に基づき，スカラー場について連続テンソルネットワークを構築
- スカラー場の摂動論において，繰り込み群により量子誤り訂正を構成 \Rightarrow バルク再構成の必要条件

序論

MERA and AdS/CFT

厳密繰り込み群による連続テンソルネットワーク

量子誤り訂正と AdS/CFT

バルク局所性のパラドックス

量子誤り訂正符号

Approximate quantum error correction condition

Encoding a qudit at a point

AQEC for free scalar theory

ϕ^4 摂動論に対する AQEC

discussion

結論

序論

厳密繰り込み群による連続テンソルネットワーク

量子誤り訂正と AdS/CFT

Approximate quantum error correction condition

結論

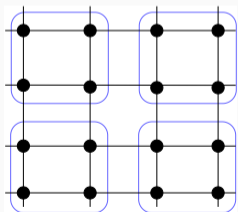
テンソルネットワークとは

テンソルネットワーク:

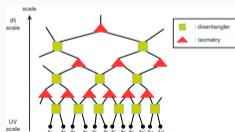
分配関数や波動関数をテンソル積で表現したもの: $T \otimes T \otimes \dots$

例

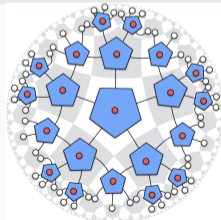
1. テンソル繰り込み群 → 特異値分解による情報圧縮を利用した分配関数の計算
2. MERA → 変分法による量子多体系の波動関数の計算
3. HaPPY code → AdS/CFT 対応のバルク再構成を具現化し、量子誤り訂正の性質を備える
トイモデル [Almheiri et al., 2015, Pastawski et al., 2015]



1. テンソル繰り込み群



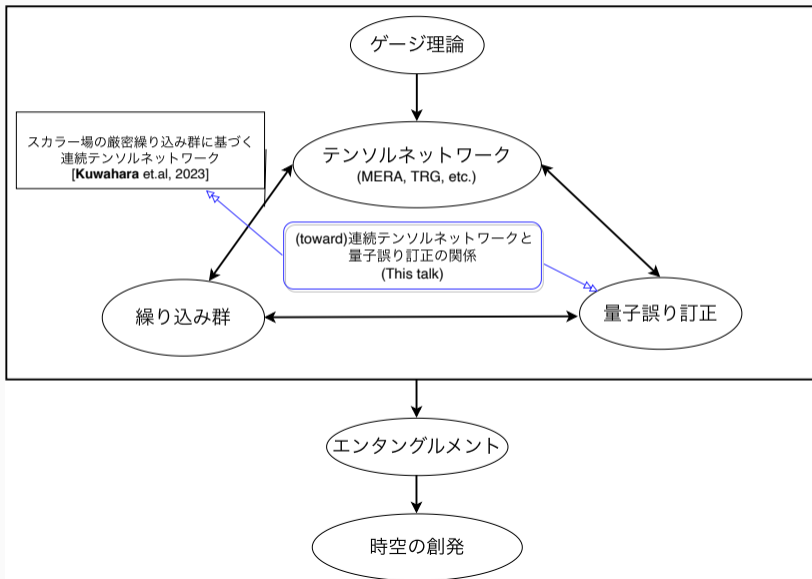
2. MERA



3. HaPPY code

([Pastawski et al., 2015])

バルク再構成に向けて



AdS/CFT correspondence [Maldacena, 1999]

AdS/CFT 対応

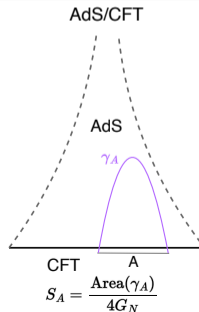
AdS 上の重力理論は，その境界の CFT と等価 [Maldacena, 1999]

古典重力 \Leftrightarrow ラージ N 強結合ゲージ理論

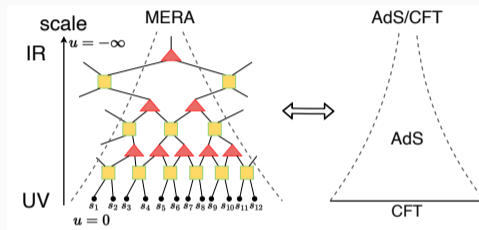
笠-高柳公式 [Ryu and Takayanagi, 2006]

$$S_A = \frac{\text{Area}(\gamma_A)}{4G_N}$$

エンタングルメント \Leftrightarrow バルク幾何



境界理論が与えられたとき、
バルクの重力理論をどう構築するか？

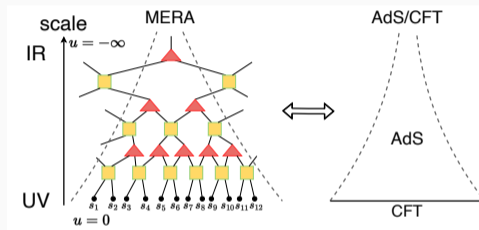


MERA と AdS/CFT の対応 [Nozaki et al., 2012].
バルクの方法は繰り込み群のスケールに対応

境界理論が与えられたとき、
バルクの重力理論をどう構築するか？
手がかり: [MERA](#) [Vidal, 2007] と [AdS/CFT](#) との対応
[Swingle, 2012]

[MERA](#):
基底状態の波動関数を求める数値手法

$$|\Psi\rangle = \sum_{\{s_i\}} \Psi_{s_1 s_2 \dots} |s_1 s_2 \dots\rangle$$
$$\sim \sum_{\{s_i\}} \Psi_{s_1 s_2 \dots}^{\text{trial}} |s_1 s_2 \dots\rangle$$



MERA と AdS/CFT の対応 [Nozaki et al., 2012].
バルクの方法は繰り込み群のスケールに対応

1D MERA のエンタングルメントエントロピー

MERA の手順

1. ディスエンタングラーにより，隣接するサイト間のエンタングルメントを除去
2. アイソメトリーにより，隣接するサイトを effective なサイトに粗視化
3. 変分法を適用して，ディスエンタングラーとアイソメトリーを決定し，基底状態の波動関数 Ψ^{trial} を得る

1D MERA のエンタングルメントエントロピー

MERA の手順

1. ディスエンタングラーにより、隣接するサイト間のエンタングルメントを除去
2. アイソメトリーにより、隣接するサイトを effective なサイトに粗視化
3. 変分法を適用して、ディスエンタングラーとアイソメトリーを決定し、基底状態の波動関数 Ψ^{trial} を得る

エンタングルメントエントロピーは、**最小カット**

↳ $\min\{\#\text{Bonds}(\gamma_A)\}$ が横切るボンドの数で評価できる

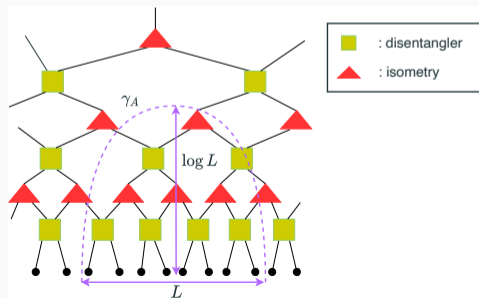
1D MERA の場合: $\min\{\#\text{Bonds}(\gamma_A)\} = \log L$

エントロピーは、各ボンドが最大限もつれているときが最大エントロピー (1 ボンドあたり $S = \log \chi$) となる

→ $S_A \leq \min\{\#\text{Bonds}(\gamma_A)\} \log \chi = (\text{const}) \cdot \log L$

⇒ 1次元臨界系の面積則 $S \sim \log L$ を不等式の形で再現

cf. RT formula: $S_A = \frac{\text{Area}(\gamma_A)}{4G_N}$



MERA と AdS/CFT

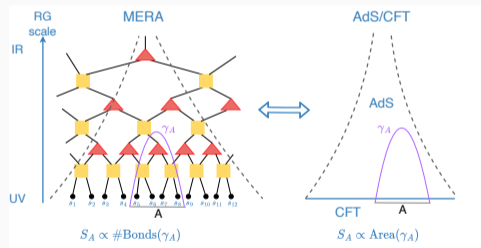
MERA ネットワーク \Leftrightarrow 離散的 AdS [Swingle, 2012]



MERA により、バルク離散幾何の構築が可能

連続幾何を導きたい

\Rightarrow 連続テンソルネットワークを考える
(スケールが連続的なネットワーク)



Correspondence between MERA & AdS/CFT
 γ_A : minimal surface of A

厳密繰り込み群による連続テンソルネットワーク構成

- 連続幾何 → 連続テンソルネットワーク
- 古典的幾何を導く強結合理論 → 非摂動理論

⇒ 非摂動的な連続テンソルネットワークが不可欠

非摂動的な連続テンソルネットワークをどのように構築するか？

cMERA の構築

⇕ 等価

波動関数のスケール依存性の導出

(cf. RG スケールはバルク方向に対応)

非摂動的な cMERA

⇒ 厳密繰り込み群 (ERG) により波動関数に対する汎関数微分方程式を導出する

厳密繰り込み群 (汎関数繰り込み群)

有効作用のスケール依存性を非摂動的に記述する汎関数微分方程式 (ERG 方程式) を与える枠組み

スカラー場理論における波動関数の ERG 方程式を考える

序論

厳密繰り込み群による連続テンソルネットワーク

量子誤り訂正と AdS/CFT

Approximate quantum error correction condition

結論

Polchinski 方程式

要請

分配関数は有効カットオフ Λ の微小変化の下で不変

Polchinski 方程式

要請

分配関数は有効カットオフ Λ の微小変化の下で不変

$$0 = -\Lambda \frac{\partial}{\partial \Lambda} \int \mathcal{D}\phi e^{-S_\Lambda[\phi]}$$
$$\Rightarrow -\Lambda \frac{\partial}{\partial \Lambda} e^{-S_\Lambda[\phi]} = \int_p \frac{\delta}{\delta\phi(p)} \left[G_\Lambda[\phi](p) e^{-S_\Lambda[\phi]} \right]$$

Λ : 有効カットオフ, S_Λ : 有効作用

$G_\Lambda[\phi](p)$: UV regularization,
連続的なブロッキング (粗視化) に対応

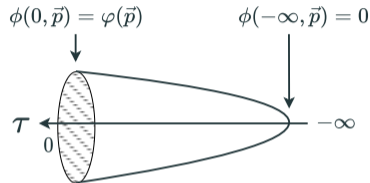
Polchinski 方程式

$$-\Lambda \frac{\partial}{\partial \Lambda} e^{-S_{\text{int}}} = -\frac{1}{2} \int_p \dot{C}_\Lambda(p) \frac{\delta^2}{\delta\phi(p)\delta\phi(-p)} e^{-S_{\text{int}}}$$

作用 $S_\Lambda = S_0 + S_{\text{int}}$ の相互作用項 S_{int} に対する汎関数微分方程式

波動汎関数の経路積分表示

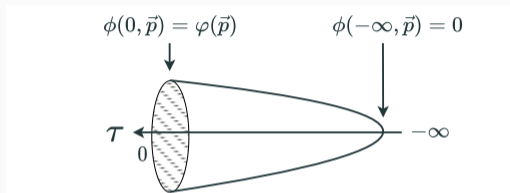
$$\begin{aligned}\Psi_\Lambda[\varphi(\vec{p})] &= \langle \varphi(\vec{p}) | \Psi_\Lambda \rangle \\ &= \int_{\phi(0, \vec{p}) = \varphi(\vec{p})} D\phi e^{-\int_{-\infty}^0 d\tau L_\Lambda[\phi]} \\ &\left(= \int_{\phi(0, \vec{p}) = \varphi(\vec{p})} D\phi e^{-\int_0^{+\infty} d\tau L_\Lambda[\phi]} \right)\end{aligned}$$



(assume $L_\Lambda \in \mathbb{R} \rightarrow \Psi_\Lambda \in \mathbb{R}$)

波動汎関数の経路積分表示

$$\begin{aligned}\Psi_{\Lambda}[\varphi(\vec{p})] &= \langle \varphi(\vec{p}) | \Psi_{\Lambda} \rangle \\ &= \int_{\phi(0, \vec{p}) = \varphi(\vec{p})} D\phi e^{-\int_{-\infty}^0 d\tau L_{\Lambda}[\phi]} \\ &\left(= \int_{\phi(0, \vec{p}) = \varphi(\vec{p})} D\phi e^{-\int_0^{+\infty} d\tau L_{\Lambda}[\phi]} \right)\end{aligned}$$



(assume $L_{\Lambda} \in \mathbb{R} \rightarrow \Psi_{\Lambda} \in \mathbb{R}$)

$$\Psi_{\Lambda}^2[\varphi] = \int \mathcal{D}\phi \prod_{\vec{p}} \delta[\phi(0, \vec{p}) - \varphi(\vec{p})] e^{-S_{\Lambda}[\phi]}$$

波動汎関数 Ψ_Λ に対する ERG 方程式

$-\Lambda \frac{\partial}{\partial \Lambda}$ を両辺に作用

$$-\Lambda \frac{\partial}{\partial \Lambda} \Psi_\Lambda^2[\varphi] = \int \mathcal{D}\phi \prod_{\vec{k}} \delta[\phi(0, \vec{k}) - \varphi(\vec{k})] \int_{\tau, \tau', \vec{p}} \frac{\delta}{\delta \phi(\tau, \vec{p})} \left[\frac{1}{2} \dot{C}_\Lambda(\tau - \tau', \vec{p}) \left\{ \frac{\delta}{\delta \phi(\tau', -\vec{p})} (S_\Lambda - 2S_0) \right\} e^{-S_\Lambda} \right]$$

代入:

$$\begin{cases} S_0 &= \int_p \frac{1}{2} \phi(p) C_\Lambda^{-1}(p) \phi(-p), \\ -\Lambda \frac{\partial}{\partial \Lambda} e^{-S_\Lambda[\phi]} &= \int_p \frac{\delta}{\delta \phi(p)} \left[\frac{1}{2} \dot{C}_\Lambda(p) \left\{ \frac{\delta}{\delta \phi(-p)} (S_\Lambda - 2S_0) \right\} e^{-S_\Lambda[\phi]} \right] \end{cases}$$

$$\Rightarrow \int \mathcal{D}\phi \prod_{\vec{k}} \delta[\phi(0, \vec{k}) - \varphi(\vec{k})] \int_{\tau, \tau', \vec{p}} \left[-\frac{1}{2} \dot{C}_\Lambda(\tau - \tau', \vec{p}) \frac{\delta^2}{\delta \phi(\tau, \vec{p}) \delta \phi(\tau', -\vec{p})} e^{-S_\Lambda[\phi]} \right]$$

$$- \int \mathcal{D}\phi \prod_{\vec{k}} \delta[\phi(0, \vec{k}) - \varphi(\vec{k})] \int_{\tau, \tau', \tau'', \vec{p}} \frac{\delta}{\delta \phi(\tau, \vec{p})} \left[\dot{C}_\Lambda(\tau - \tau', \vec{p}) C_\Lambda^{-1}(\tau' - \tau'', \vec{p}) \phi(\tau'', \vec{p}) e^{-S_\Lambda[\phi]} \right]$$

$\uparrow \tau = \tau' = 0$ (1 行目) & $\tau = 0$ (2 行目) を除き全微分項

典型的には、 $\dot{C}_\Lambda(0, \vec{p}) = \dot{K}(\vec{p}) / (2\sqrt{\vec{p}^2 + m^2})$, $K(\vec{p})$ は $\vec{p}^2 > \Lambda^2$ で damp

基底状態の波動関数についての ERG 方程式

$$\begin{aligned} -\Lambda \frac{\partial}{\partial \Lambda} \Psi_\Lambda &= -\frac{1}{2} \int_{\vec{p}} \dot{C}_\Lambda(0, \vec{p}) \left\{ \frac{\delta^2 \Psi_\Lambda}{\delta \varphi(\vec{p}) \delta \varphi(-\vec{p})} + \frac{1}{\Psi_\Lambda} \frac{\delta \Psi_\Lambda}{\delta \varphi(\vec{p})} \frac{\delta \Psi_\Lambda}{\delta \varphi(-\vec{p})} \right\} \\ &\quad - \int_{\vec{p}} \frac{\dot{C}_\Lambda(0, \vec{p})}{C_\Lambda(0, \vec{p})} \varphi(\vec{p}) \frac{\delta \Psi_\Lambda}{\delta \varphi(\vec{p})} - \frac{V}{2} \Psi_\Lambda \int_{\vec{p}} \frac{\dot{C}_\Lambda(0, \vec{p})}{C_\Lambda(0, \vec{p})} \end{aligned}$$

バルク再構成に向けて

基底状態の波動関数についての ERG 方程式

$$\begin{aligned} -\Lambda \frac{\partial}{\partial \Lambda} \Psi_\Lambda = & -\frac{1}{2} \int_{\vec{p}} \dot{C}_\Lambda(0, \vec{p}) \left\{ \frac{\delta^2 \Psi_\Lambda}{\delta \varphi(\vec{p}) \delta \varphi(-\vec{p})} + \frac{1}{\Psi_\Lambda} \frac{\delta \Psi_\Lambda}{\delta \varphi(\vec{p})} \frac{\delta \Psi_\Lambda}{\delta \varphi(-\vec{p})} \right\} \\ & - \int_{\vec{p}} \frac{\dot{C}_\Lambda(0, \vec{p})}{C_\Lambda(0, \vec{p})} \varphi(\vec{p}) \frac{\delta \Psi_\Lambda}{\delta \varphi(\vec{p})} - \frac{V}{2} \Psi_\Lambda \int_{\vec{p}} \frac{\dot{C}_\Lambda(0, \vec{p})}{C_\Lambda(0, \vec{p})} \end{aligned}$$

⇒ 連続テンソルネットワークを記述

このネットワークがバルク再構成を記述することを示すには、以下が必要:

- エンタングルメント構造
- geometry の構造 (cf. Fisher metric[Nozaki et al., 2012])

しかし、厳密繰り込み群の解析は難しい

一般に、バルク再構成は量子誤り訂正と関係する

ERG 方程式の摂動解について量子誤り訂正との関係を調べる

序論

厳密繰り込み群による連続テンソルネットワーク

量子誤り訂正と AdS/CFT

Approximate quantum error correction condition

結論

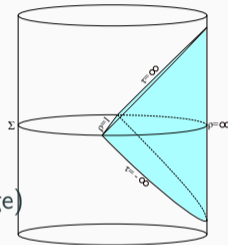
AdS-Rindler 再構成

AdS-Rindler 再構成:

$$\phi(x) = \int dY K(x; Y) \mathcal{O}(Y), \quad x \in W_C[A],$$

$W_C[A]$: AdS-Rindler wedge(causal wedge)

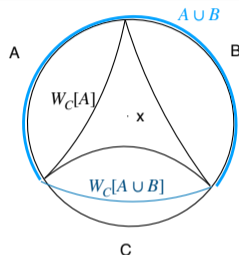
バルク演算子 $\phi(x)$ は, $x \in W_C[A]$ のとき,
境界演算子 $\mathcal{O}(Y)$ から再構成できる



[Almheiri et al., 2015]

AdS-Rindler reconstruction and bulk locality paradox

CFT の時間一定面 Σ を考える



AdS-Rindler 再構成を考えると、バルク演算子 $\phi(x)$ は A, B, C からは構成不可能だが、 $A \cup B, B \cup C, C \cup A$ からは構成可能 ($\phi_{AB}, \phi_{BC}, \phi_{CA}$)

しかし、局所性より $[\phi_{AB}, \mathcal{O}_C] = 0$. A, B, C の巡回置換もまた同様.

もし $\phi_{AB}, \phi_{BC}, \phi_{CA}$ が同一な演算子とすると、

Schur の補題から任意のバルク演算子は単位演算子になってしまう \Rightarrow paradox

これを解決するため、量子誤り訂正を導入

量子誤り訂正符号の例: qutrit code

Alice から Bob に 1 qutrit の量子状態 $|\psi\rangle = \sum_{i=0}^2 a_i |i\rangle$ を送りたい.

データにエラーが起こってスピンの壊れたときに元のデータを復元するには？

量子誤り訂正符号の例: qutrit code

Alice から Bob に 1 qutrit の量子状態 $|\psi\rangle = \sum_{i=0}^2 a_i |i\rangle$ を送りたい。

データにエラーが起こってスピンの壊れたときに元のデータを復元するには？

⇒ 状態の冗長化 (符号化) $|\psi\rangle \mapsto |\tilde{\psi}\rangle$

$$|\tilde{\psi}\rangle = \sum_{i=0}^2 a_i |\tilde{i}\rangle, \quad \{|\tilde{i}\rangle\} : \text{符号部分空間 (code subspace)}$$

を送ればよい。

$$|\tilde{0}\rangle = \frac{1}{\sqrt{3}} (|000\rangle + |111\rangle + |222\rangle)$$

$$|\tilde{1}\rangle = \frac{1}{\sqrt{3}} (|012\rangle + |120\rangle + |201\rangle)$$

$$|\tilde{2}\rangle = \frac{1}{\sqrt{3}} (|021\rangle + |102\rangle + |210\rangle)$$

復号化

3つ目の qutrit が壊れ、
符号化データを受け取った Bob が最初の 2 つの qutrit のみ読み取れたとする。

最初の 2 つの qutrit のみに作用するユニタリー変換 U_{12} :

$$\begin{aligned} |00\rangle &\rightarrow |00\rangle & |11\rangle &\rightarrow |01\rangle & |22\rangle &\rightarrow |02\rangle \\ |01\rangle &\rightarrow |12\rangle & |12\rangle &\rightarrow |10\rangle & |20\rangle &\rightarrow |11\rangle \\ |02\rangle &\rightarrow |21\rangle & |10\rangle &\rightarrow |22\rangle & |21\rangle &\rightarrow |20\rangle \end{aligned}$$

を符号化データ $|\tilde{\psi}\rangle$ に作用させると、

$$(U_{12} \otimes I_3) |\tilde{\psi}\rangle = \underbrace{|\psi\rangle}_{\text{original data}} \otimes \frac{1}{\sqrt{3}} (|00\rangle + |11\rangle + |22\rangle)$$

⇒ 誤りが訂正できた
この符号部分空間とエラーは、一般の誤り訂正条件 (Knill-Laflamme 条件) を満たす

誤り訂正条件

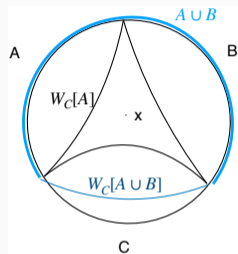
$$\langle \tilde{i} | E_a E_b | \tilde{j} \rangle \propto \delta_{ij}$$

$\{E_a\}$: エラー演算子

Quantum error correction and AdS/CFT

\tilde{O} は一般に 3 つの qutrit に非自明に作用するが、ユニタリー変換した演算子 $O_{12} \equiv U_{12}^\dagger O U_{12}$ は最初の 2 つの qutrit のみに非自明に作用する。同様に O_{23}, O_{31} も作れる
符号部分空間上ではいずれの演算子も同様に働く (同じ行列要素)

O_{12}, O_{23}, O_{31} は、
AdS-Rindler 再構成から作られるバルク演算子 $\phi(x)$ の表現
 $\phi_{AB}, \phi_{BC}, \phi_{CA}$ と対応
それぞれ異なる演算子だが、符号部分空間上では同様に働く



Quantum error correction and AdS/CFT

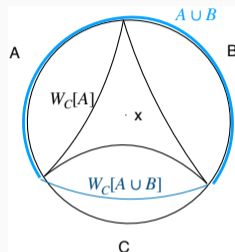
\tilde{O} は一般に 3 つの qutrit に非自明に作用するが、ユニタリー変換した演算子 $O_{12} \equiv U_{12}^\dagger O U_{12}$ は最初の 2 つの qutrit のみに非自明に作用する。同様に O_{23}, O_{31} も作れる
符号部分空間上ではいずれの演算子も同様に働く (同じ行列要素)

O_{12}, O_{23}, O_{31} は,
AdS-Rindler 再構成から作られるバルク演算子 $\phi(x)$ の表現
 $\phi_{AB}, \phi_{BC}, \phi_{CA}$ と対応
それぞれ異なる演算子だが、符号部分空間上では同様に働く

AdS/CFT の符号部分空間は

$$|\Omega\rangle, \phi_i(x) |\Omega\rangle, \phi_i(x_1) \phi_j(x_2) |\Omega\rangle, \dots \quad (|\Omega\rangle : \text{基底状態})$$

の線形結合



Quantum error correction and AdS/CFT

\tilde{O} は一般に 3 つの qutrit に非自明に作用するが、ユニタリー変換した演算子 $O_{12} \equiv U_{12}^\dagger O U_{12}$ は最初の 2 つの qutrit のみに非自明に作用する。同様に O_{23}, O_{31} も作れる
符号部分空間上ではいずれの演算子も同様に働く (同じ行列要素)

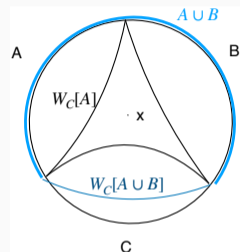
O_{12}, O_{23}, O_{31} は、
AdS-Rindler 再構成から作られるバルク演算子 $\phi(x)$ の表現
 $\phi_{AB}, \phi_{BC}, \phi_{CA}$ と対応
それぞれ異なる演算子だが、符号部分空間上では同様に働く

AdS/CFT の符号部分空間は

$$|\Omega\rangle, \phi_i(x) |\Omega\rangle, \phi_i(x_1) \phi_j(x_2) |\Omega\rangle, \dots \quad (|\Omega\rangle : \text{基底状態})$$

の線形結合

⇒ バルクの創発は、量子誤り訂正で記述される
局所性は符号部分空間上でのみ課せば Schur の補題は成り立たず、
バルクの自明理論を導かない □



ERGに基づく連続テンソルネットワークはバルクを再構成できるか？

⇒ (厳密) 繰り込み群により量子誤り訂正条件を構成

first step として、 ϕ^4 理論の ERG 方程式の摂動解を考える

$$\begin{aligned} -\Lambda \frac{\partial}{\partial \Lambda} \Psi_\Lambda = & -\frac{1}{2} \int_{\vec{p}} \dot{C}_\Lambda(0, \vec{p}) \left\{ \frac{\delta^2 \Psi_\Lambda}{\delta \varphi(\vec{p}) \delta \varphi(-\vec{p})} + \frac{1}{\Psi_\Lambda} \frac{\delta \Psi_\Lambda}{\delta \varphi(\vec{p})} \frac{\delta \Psi_\Lambda}{\delta \varphi(-\vec{p})} \right\} \\ & - \int_{\vec{p}} \frac{\dot{C}_\Lambda(0, \vec{p})}{C_\Lambda(0, \vec{p})} \varphi(\vec{p}) \frac{\delta \Psi_\Lambda}{\delta \varphi(\vec{p})} - \frac{V}{2} \Psi_\Lambda \int_{\vec{p}} \frac{\dot{C}_\Lambda(0, \vec{p})}{C_\Lambda(0, \vec{p})} \end{aligned}$$

序論

厳密繰り込み群による連続テンソルネットワーク

量子誤り訂正と AdS/CFT

Approximate quantum error correction condition

結論

Approximate quantum error correction(AQEC) condition

バルク再構成では，近似的な誤り訂正条件で十分

(Approximate) Knill-Laflamme condition

$$\langle \tilde{i} | E_a^\dagger E_b | \tilde{j} \rangle = d_{ab} \delta_{ab} \delta_{ij} + \epsilon$$

$|\tilde{i}\rangle$: 符号部分空間の基底

E_a, E_b : エラー演算子,

$$\epsilon \ll 1$$

Encoding a qudit at a point[Furuya et al., 2022]

コヒーレント演算子 $D(irf_0)$ で張られる空間を符号部分空間とする

(f_0 : 実関数, r : level (from 0 to $q - 1$))

~ delta function at x_0 with width ϵ :

$$|r, x_0\rangle \equiv D(irf_0) |\Omega\rangle$$

エラー演算子: $D(iqf_0)$

e.g. ガウス波束

$$f_0(x) = \frac{1}{\sqrt{2\pi\epsilon^2}} e^{-\frac{(x-x_0)^2}{2\epsilon^2}}$$

$$\begin{aligned}\langle r', x_0 | r, x_0 \rangle &= \langle D(i(r-r'))f_0 \rangle \\ &= \delta_{rr'}\end{aligned}$$

$$\langle r', x_0 | D(iqf_0) | r, x_0 \rangle = \delta_{r', r+q} \Rightarrow \text{誤り訂正可能}$$

エネルギースケール Λ の ERG 方程式の摂動 0 次の解:

$$\Psi_{\Lambda}^{(0)}[\varphi] = \mathcal{N}_{\Lambda} \exp \left[-\frac{1}{2} \varphi \cdot K^{-1} \omega_{\Lambda} \cdot \varphi \right]$$

\mathcal{N}_{Λ} : 規格化定数 ($\int \mathcal{D}\varphi \left| \Psi_{\Lambda}^{(0)}[\varphi] \right|^2 = 1$)

符号部分空間とエラー演算子

符号部分空間: UV でのコヒーレント状態

$$\text{span}(\{|rf_0\rangle\}_{\Lambda_{UV}}),$$

f : 任意の実関数

エラー演算子: IR(近傍) でのコヒーレント演算子

$$\{E_{\Lambda_{IR},a}\} = \{D(g) | g: \text{arbitrary real function}\}$$

生成消滅演算子

生成消滅演算子:

$$a_{\Lambda}^{(0)}(p) = \frac{1}{\sqrt{2}} \left(\sqrt{\frac{\omega_{\Lambda}(p^2)}{K(p^2)}} \varphi(p) + \sqrt{\frac{K(p^2)}{\omega_{\Lambda}(p^2)}} \frac{\delta}{\delta\varphi(-p)} \right)$$

$$a_{\Lambda}^{\dagger(0)}(p) = \frac{1}{\sqrt{2}} \left(\sqrt{\frac{\omega_{\Lambda}(p^2)}{K(p^2)}} \varphi(-p) - \sqrt{\frac{K(p^2)}{\omega_{\Lambda}(p^2)}} \frac{\delta}{\delta\varphi(p)} \right)$$

$$[a_{\Lambda}^{(0)}(p), a_{\Lambda}^{\dagger(0)}(q)] = \tilde{\delta}(p - q)$$

where $\omega_{\Lambda}(p^2) \equiv \sqrt{p^2 + \Lambda^{-2}m^2}$.

Bogoliubov 変換した演算子のスケーリング則:

$$a_{\Lambda_0}^{(0)}(p) + a_{\Lambda_0}^{\dagger(0)}(-p) = \sqrt{\frac{\omega_{\Lambda_0}(p^2)}{\omega_{\Lambda}(p^2)}} \left\{ a_{\Lambda}^{(0)}(p) + a_{\Lambda}^{\dagger(0)}(-p) \right\}$$

$$a_{\Lambda_0}^{(0)}(p) - a_{\Lambda_0}^{\dagger(0)}(-p) = \sqrt{\frac{\omega_{\Lambda}(p^2)}{\omega_{\Lambda_0}(p^2)}} \left\{ a_{\Lambda}^{(0)}(p) - a_{\Lambda}^{\dagger(0)}(-p) \right\}$$

コヒーレント状態:

$$|f\rangle = \exp\left[\frac{1}{\sqrt{2}}(f \cdot a_{\Lambda}^{\dagger(0)} - f^* \cdot a_{\Lambda}^{(0)})\right] |\Psi\rangle$$

$|\Psi\rangle$: 基底状態

$f = r f_0$, f_0 : 任意の実関数
ととる

$$|r f_0\rangle_{\Lambda} = \exp\left[-\frac{r}{\sqrt{2}} f_0 \cdot (a_{\Lambda}^{(0)} - a_{\Lambda}^{\dagger(0)})\right] |\Psi\rangle.$$

すべての量は Λ で無次元化

自由スカラー場の誤り訂正

エラー演算子は IR 近傍で定義:

$$D(g)_\Lambda = \exp \left[\frac{i}{\sqrt{2}} g \cdot (a_\Lambda^{(0)} - a_\Lambda^{\dagger(0)}) \right]$$

Λ_0 : bare スケール, g : 実関数, $\omega_\Lambda = \sqrt{m_{\Lambda_0}^2 \Lambda^{-2} + p^2}$

誤り訂正条件 ($D^\dagger(g')D(h') = D(h' - g') \equiv D(g)$):

$$\begin{aligned} & \Lambda_{UV} \langle r f_0 | D(g)_\Lambda | r' f_0 \rangle_{\Lambda_{UV}} \\ &= \exp \left[-\frac{1}{2} \int_p \left[(r - r')^2 |f_0(p)|^2 - 2(r - r') \frac{\omega_{\Lambda_{UV},p}}{\omega_{\Lambda,p}} g(-p) f_0(p) + \frac{\omega_{\Lambda_{UV},p}}{\omega_{\Lambda,p}} |g(p)|^2 \right] \right] \end{aligned}$$

ω_Λ は RG flow で単調増加するため, IR 極限では g の寄与を無視できる
十分 IR に近づき, 幅が狭い場合 ($\int |f_0(p)|^2 \gg 1$) を考えると,

$$\Lambda_{UV} \langle r f_0 | D(g)_\Lambda | r' f_0 \rangle_{\Lambda_{UV}} \sim \delta_{rr'}$$

⇒ 誤り訂正可能

ERG 方程式の摂動一次の解の (近似的) 誤り訂正可能性を考える
基底状態の波動汎関数:

$$\Psi_\Lambda[\varphi] = \Psi_\Lambda^{(0)}[\varphi] + \alpha\Psi_\Lambda^{(1)}[\varphi] + O(\alpha^2)$$

生成消滅演算子

摂動一次の生成消滅演算子:

$$a_\Lambda(p) = a_\Lambda^{(0)}(p) + \alpha a_\Lambda^{(1)}(p) + O(\alpha^2)$$

$$a_\Lambda(p)^\dagger = a_\Lambda^{\dagger(0)}(p) + \alpha a_\Lambda^{\dagger(1)}(p) + O(\alpha^2)$$

$$a_\Lambda^{(1)}(p) = \frac{\lambda}{3!} \int_{k_i} \frac{\tilde{\delta}(k_1 + k_2 + k_3 + p)}{\omega_\Lambda(k_1^2) + \omega_\Lambda(k_2^2) + \omega_\Lambda(k_3^2) + \omega_\Lambda(p^2)} \sqrt{\frac{K(p^2)}{2\omega_\Lambda(p^2)}} \left(\prod_{i=1}^3 \sqrt{\frac{K(k_i^2)}{2\omega_\Lambda(k_i^2)}} a_\Lambda^{\dagger(0)}(k_i) \right) \\ + \left(\frac{\delta m^2}{2} + \frac{\lambda}{4!} \int_q \frac{6K_\Lambda(q^2)}{2\omega_\Lambda(q^2)} \right) \frac{K(p^2)}{2\omega_\Lambda^2(p^2)} a_\Lambda^{\dagger(0)}(-p)$$

$$a_\Lambda^{\dagger(1)}(p) = \frac{\lambda}{3!} \int_{k_i} \frac{\tilde{\delta}(k_1 + k_2 + k_3 + p)}{\omega_\Lambda(k_1^2) + \omega_\Lambda(k_2^2) + \omega_\Lambda(k_3^2) + \omega_\Lambda(p^2)} \sqrt{\frac{K(p^2)}{2\omega_\Lambda(p^2)}} \left(\prod_{i=1}^3 \sqrt{\frac{K(k_i^2)}{2\omega_\Lambda(k_i^2)}} a_\Lambda^{(0)}(k_i) \right) \\ + \left(\frac{\delta m^2}{2} + \frac{\lambda}{4!} \int_q \frac{6K_\Lambda(q^2)}{2\omega_\Lambda(q^2)} \right) \frac{K(p^2)}{2\omega_\Lambda^2(p^2)} a_\Lambda^{(0)}(-p)$$

$$[a_\Lambda(p), a_\Lambda^\dagger(q)] = \tilde{\delta}(p - q)$$

AQEC condition for the perturbative ϕ^4 theory

IR 近傍のエラー演算子:

$$D(g)_\Lambda = \exp \left[\frac{1}{\sqrt{2}} g \cdot (a_\Lambda - a_\Lambda^\dagger) \right]$$

IR 極限と幅が狭い極限を考えると,

$$\Lambda_{UV} \langle r' f_0 | D_{\Lambda_{IR}}(g) | r f_0 \rangle_{\Lambda_{UV}} \sim \delta_{rr'}$$

⇒ 誤り訂正可能

繰り込み群によって、誤り訂正ができるような符号部分空間が構成された

Discussion: RG and quantum error correction

エネルギースケール Λ の状態: $\{|i\rangle_\Lambda\}$.

$$\langle i|j\rangle_\Lambda \sim \delta_{ij}$$

RG ユニタリー演算子 $U(\Lambda, \Lambda_{UV})$:

$$U(\Lambda, \Lambda_{UV}) |i\rangle_{\Lambda_{UV}} = |i\rangle_\Lambda$$

エンコーディング:

$$U^\dagger |i\rangle_{\Lambda_{IR}} = |i\rangle_{\Lambda_{UV}} : \text{code subspace}$$

IR でのエラー演算子 $\{E_{IR,i}\}$

バルク局所性からの要請

符号化された状態は UV スケールで誤り訂正可能

⇔ 符号部分空間は UV スケールで定義

エラー演算子 $\{E_{\Lambda_{\text{IR}},i}\}$ と符号部分空間 $\text{span}(\{|i\rangle_{\Lambda_{\text{UV}}}\})$ は以下を満たす

$$\begin{aligned} \Lambda_{\text{UV}} \langle i | E_{\Lambda_{\text{IR}},a}^\dagger E_{\Lambda_{\text{IR}},b} | j \rangle_{\Lambda_{\text{UV}}} \\ \sim d_{ab} \delta_{ab} \delta_{ij} \end{aligned}$$

コヒーレント状態以外でも、一般に、エンコーディングを繰り込み群で構成できるか？

序論

厳密繰り込み群による連続テンソルネットワーク

量子誤り訂正と AdS/CFT

Approximate quantum error correction condition




結論




まとめ

- 厳密繰り込み群により, 連続テンソルネットワークを構成
- ERG 方程式の摂動解を用いて, 繰り込み群から量子誤り訂正を構成

Future work

- ϕ^4 理論の非摂動論における AQEC 条件
- CFT 状態
- ゲージ理論
- エンタングルメント構造
- メトリック構造 (cf. Fisher metric [Nozaki et al., 2012])
- Numerical approach(テンソル繰り込み群などのテンソルネットワーク手法)

-  Almheiri, A., Dong, X., and Harlow, D. (2015).
Bulk Locality and Quantum Error Correction in AdS/CFT.
JHEP, 04:163.
-  Furuya, K., Lashkari, N., and Moosa, M. (2022).
Renormalization group and approximate error correction.
Phys. Rev. D, 106(10):105007.
-  Maldacena, J. M. (1999).
The Large N limit of superconformal field theories and supergravity.
Int. J. Theor. Phys., 38:1113–1133.

-  Nozaki, M., Ryu, S., and Takayanagi, T. (2012).
Holographic Geometry of Entanglement Renormalization in Quantum Field Theories.
JHEP, 10:193.
-  Pastawski, F., Yoshida, B., Harlow, D., and Preskill, J. (2015).
Holographic quantum error-correcting codes: Toy models for the bulk/boundary correspondence.
JHEP, 06:149.
-  Polchinski, J. (1984).
Renormalization and Effective Lagrangians.
Nucl. Phys. B, 231:269–295.



Ryu, S. and Takayanagi, T. (2006).

Holographic derivation of entanglement entropy from AdS/CFT.

Phys. Rev. Lett., 96:181602.



Swingle, B. (2012).

Entanglement Renormalization and Holography.

Phys. Rev. D, 86:065007.



Vidal, G. (2007).

Entanglement Renormalization.

Phys. Rev. Lett., 99(22):220405.

波動関数の表現

n 自由度系の波動関数

$$|\psi\rangle = \sum_{\{s_i\}} T^{s_1 s_2 \cdots s_n} |s_1 s_2 \cdots s_n\rangle$$

面積則を満たすように係数 $T^{s_1 s_2 \cdots s_n}$ を表したい

係数の構造をテンソルネットワーク図で表現する

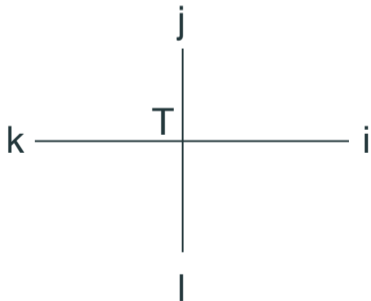
テンソルネットワーク図の notation

格子点 \leftrightarrow テンソル

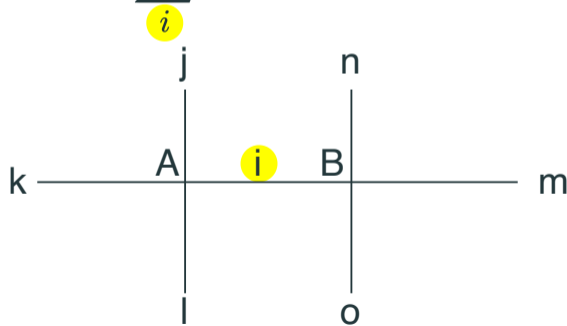
ボンド \leftrightarrow テンソルの添字

複数のテンソルに共有されているボンドは縮約する

$$T_{ijkl}$$



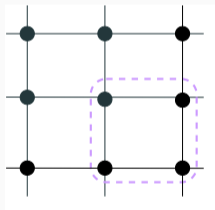
$$\sum_i A_{ijkl} B_{mnio}$$



TPS(tensor product state)

$$T^{s_1 s_2 \dots s_n} = \sum_{m_1, m_2, \dots} (A_1^{s_1})_{m_1 m_2 \dots} (A_2^{s_2})_{n_1 n_2 \dots \dots}$$

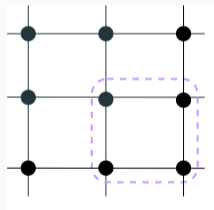
各ボンドには, maximally entangled pair が導入されている



TPS(tensor product state)

$$T^{s_1 s_2 \dots s_n} = \sum_{m_1, m_2, \dots} (A_1^{s_1})_{m_1 m_2 \dots} (A_2^{s_2})_{n_1 n_2 \dots}$$

各ボンドには, maximally entangled pair が導入されている

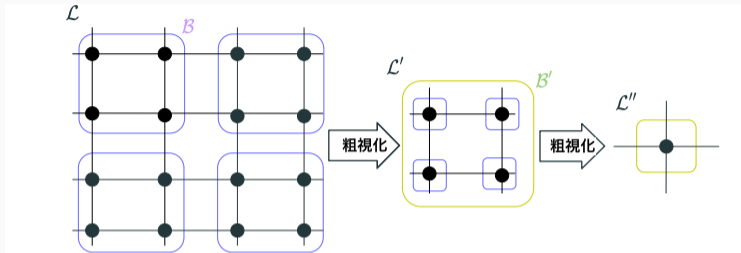


エンタングルメントエントロピー $S \leq N_{\text{bond}} \log \chi$

N_{bond} : 境界が切るボンドの数 ($\sim L^{d-1}$)

\Rightarrow 非臨界系の面積則 $S \sim L^{d-1} \log \chi$ を再現

実空間繰り込み群

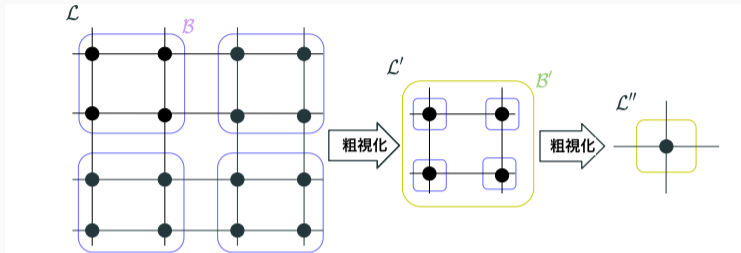


実空間繰り込み変換： Hilbert 空間の自由度を落とす変換（粗視化）

→ effective lattice $\mathcal{L}^{(n)}$ 上で物理量を計算

$$\mathcal{L} \rightarrow \mathcal{L}' \rightarrow \mathcal{L}'' \rightarrow \dots \mathcal{L}^{(n)}$$

実空間繰り込み群



実空間繰り込み変換： Hilbert 空間の自由度を落とす変換（粗視化）

→ effective lattice $\mathcal{L}^{(n)}$ 上で物理量を計算

$$\mathcal{L} \rightarrow \mathcal{L}' \rightarrow \mathcal{L}'' \rightarrow \dots \mathcal{L}^{(n)}$$

粗視化は isometry ω で特徴付けられる ($\omega^\dagger \omega = I$)

粗視化にしたがってエンタングルメントが切れるのが自然

→ disentangler の導入

Wave functional for a free theory

We can check that Ψ_0 , the ground-state wave functional of a free theory, satisfies the ERG equation

The wave functional

$$\Psi_{\Lambda}^{(0)}[\varphi(\vec{p})] = \int_{\phi(0,\vec{p})=\varphi(\vec{p})} D\phi e^{-\int_{-\infty}^0 d\tau L_0}$$

$$L_0 = \int_{\vec{p}} \frac{1}{2} K_{\vec{p}}^{-1} [\partial_{\tau} \phi(\tau, \vec{p}) \partial_{\tau} \phi(\tau, -\vec{p}) + (p^2 + m^2) \phi(\tau, \vec{p}) \phi(\tau, -\vec{p})]$$

$$\Psi_{\Lambda}^{(0)} = \exp \left[- \int_{\vec{p}} \frac{1}{2} K_{\vec{p}}^{-1} \omega_{\vec{p}} \varphi(\vec{p}) \varphi(-\vec{p}) + \frac{V}{4} \int_{\vec{p}} \log \left(2K_{\vec{p}}^{-1} \right) \omega_{\vec{p}} \right]$$

→ satisfies the ERG equation for the wave functional

Exact renormalization group(ERG)

Requirement

The partition function is unchanged
under the infinitesimal change of the effective cutoff Λ

Exact renormalization group(ERG)

Requirement

The partition function is unchanged
under the infinitesimal change of the effective cutoff Λ

$$0 = -\Lambda \frac{\partial}{\partial \Lambda} \int \mathcal{D}\phi e^{-S_\Lambda[\phi]}$$
$$\Rightarrow -\Lambda \frac{\partial}{\partial \Lambda} e^{-S_\Lambda[\phi]} = \int_p \frac{\delta}{\delta \phi(p)} \left[G_\Lambda[\phi](p) e^{-S_\Lambda[\phi]} \right]$$

Λ : the effective cutoff, S_Λ : the effective action

$G_\Lambda[\phi](p)$: the UV regularization,

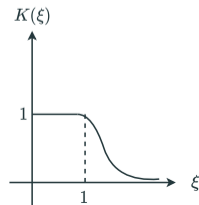
corresponds to a continuum blocking(coarse-graining) procedure

$$G_\Lambda[\phi](p) = \frac{1}{2} \dot{C}_\Lambda(p) \frac{\delta}{\delta \phi(-p)} (S_\Lambda - 2\hat{S})$$

\hat{S} : the seed action

$\dot{C}_\Lambda \equiv -\Lambda \partial_\Lambda C_\Lambda$: an ERG integration kernel

typically, $C_\Lambda(p) = K(p^2/\Lambda^2)/(p^2 + m^2)$



The Polchinski equation [Polchinski, 1984]

Take the seed action \hat{S} to the free part S_0

$$\hat{S} = S_0 = \int_p \frac{1}{2} \phi(p) C_\Lambda^{-1}(p) \phi(-p)$$

$$\begin{cases} -\Lambda \frac{\partial}{\partial \Lambda} e^{-S_\Lambda[\phi]} &= \int_p \frac{\delta}{\delta \phi(p)} [G_\Lambda[\phi](p) e^{-S_\Lambda[\phi]}] \\ G_\Lambda[\phi](p) &= \frac{1}{2} \dot{C}_\Lambda(p) \frac{\delta}{\delta \phi(-p)} (S_\Lambda - 2\hat{S}) \end{cases}$$

$$\Rightarrow -\Lambda \frac{\partial}{\partial \Lambda} e^{-S_\Lambda[\phi]} = \int_p \frac{\delta}{\delta \phi(p)} \left[\frac{1}{2} \dot{C}_\Lambda(p) \left\{ \frac{\delta}{\delta \phi(-p)} (S_\Lambda - 2S_0) \right\} e^{-S_\Lambda[\phi]} \right]$$

The Polchinski equation [Polchinski, 1984]

Take the seed action \hat{S} to the free part S_0

$$\hat{S} = S_0 = \int_p \frac{1}{2} \phi(p) C_\Lambda^{-1}(p) \phi(-p)$$

$$\begin{cases} -\Lambda \frac{\partial}{\partial \Lambda} e^{-S_\Lambda[\phi]} &= \int_p \frac{\delta}{\delta \phi(p)} [G_\Lambda[\phi](p) e^{-S_\Lambda[\phi]}] \\ G_\Lambda[\phi](p) &= \frac{1}{2} \dot{C}_\Lambda(p) \frac{\delta}{\delta \phi(-p)} (S_\Lambda - 2\hat{S}) \end{cases}$$

$$\Rightarrow -\Lambda \frac{\partial}{\partial \Lambda} e^{-S_\Lambda[\phi]} = \int_p \frac{\delta}{\delta \phi(p)} \left[\frac{1}{2} \dot{C}_\Lambda(p) \left\{ \frac{\delta}{\delta \phi(-p)} (S_\Lambda - 2S_0) \right\} e^{-S_\Lambda[\phi]} \right]$$

Put $S_\Lambda = S_0 + S_{\text{int}}$

The Polchinski equation for S_{int}

$$-\Lambda \frac{\partial}{\partial \Lambda} e^{-S_{\text{int}}} = -\frac{1}{2} \int_p \dot{C}_\Lambda(p) \frac{\delta^2}{\delta \phi(p) \delta \phi(-p)} e^{-S_{\text{int}}}$$

The functional differential equation for the interacting part of S_Λ

ERG eq for the interaction part of wave functionals

$$\Psi_{\Lambda}[\varphi] = \int_{\phi(0, \vec{p}) = \varphi(\vec{p})} D\phi e^{-\int_{-\infty}^0 d\tau (L_0 + L_{\text{int}})}$$

Parametrize

$$\Psi_{\Lambda}[\varphi] = e^{I[\varphi]} \Psi_{\Lambda}^{(0)}, \quad \Psi_{\Lambda}^{(0)}[\varphi]: \text{the free part of the wave functional}$$

$I[\varphi]: \text{the "interaction part" of } \Psi_{\Lambda}$

ERG eq for the interaction part of Ψ_{Λ}

$$-\Lambda \frac{\partial}{\partial \Lambda} I = -\frac{1}{2} \int_{\vec{p}} \dot{C}(0, \vec{p}) \left[\frac{\delta^2 I}{\delta \varphi(\vec{p}) \delta \varphi(-\vec{p})} + \frac{\delta I}{\delta \varphi(\vec{p})} \frac{\delta I}{\delta \varphi(-\vec{p})} \right]$$

Counterpart of the Polchinski equation

Operator algebra quantum error correction

Rewrite the quantum error correction as operator form

For 1-qutrit op O :

$$O|i\rangle = \sum_j (O)_{ji} |j\rangle,$$

there exists an operator \tilde{O} acts on the code subspace:

$$\tilde{O}|\tilde{i}\rangle = \sum_j (O)_{ji} |\tilde{j}\rangle$$

\tilde{O} : logical operator

\tilde{O} generally operates non-trivially on three qutrits, but the unitarily transformed operator $O_{12} \equiv U_{12}^\dagger O U_{12}$ operates non-trivially only on the first two qutrits.

Similarly, O_{23} and O_{31} can be constructed, each operating non-trivially on only some of the qutrits.

However, on the code subspace, all of these operators work in the same way (=same matrix elements).

パラドックスの再現と解決

\tilde{O} : 3 qutrit 演算子, X_3 : エラーが起きた 3 つ目の qutrit に作用する演算子
 $O_{12} = U_{12}^\dagger O U_{12}$: 1,2 番目の qutrit のみに非自明に作用する演算子

$$\begin{aligned} & \langle \tilde{i} | [\tilde{O}, X_3] | \tilde{j} \rangle \\ & \rightarrow \langle \tilde{i} | [O_{12}, X_3] | \tilde{j} \rangle = 0 \end{aligned}$$

同様にして、符号部分空間上で \tilde{O} は X_1, X_2 と交換
よってバルク演算子は符号部分空間上でのみ可換

バルク／境界対応のトイモデル: HaPPY code

バルク／境界対応のトイモデル (HaPPY code) [Pastawski et al., 2015]

バルクの創発は量子誤り訂正で記述できた。

ロジカル演算子 (符号部分空間に直接作用する演算子 O_{12}, O_{23}, O_{31})

↔ バルク演算子 $\phi_{AB}, \phi_{BC}, \phi_{CA}$

物理的演算子 (符号化データに対応) ↔ 境界演算子

バルク／境界対応のトイモデル (HaPPY code) [Pastawski et al., 2015]

バルクの創発は量子誤り訂正で記述できた。

ロジカル演算子 (符号部分空間に直接作用する演算子 O_{12}, O_{23}, O_{31})

↔ バルク演算子 $\phi_{AB}, \phi_{BC}, \phi_{CA}$

物理的演算子 (符号化データに対応) ↔ 境界演算子

2次元双曲面を表す量子誤り訂正のテンソルネットワークを用いたトイモデル

⇒ **ホログラフィックペンタゴンコード** (HaPPY code)

1つのテンソルあたり, 境界側の自由度:5-qubit

バルク側の自由度: 1-qubit

バルク／境界対応のトイモデル (HaPPY code) [Pastawski et al., 2015]

バルクの創発は量子誤り訂正で記述できた。

ロジカル演算子 (符号部分空間に直接作用する演算子 O_{12}, O_{23}, O_{31})

↔ バルク演算子 $\phi_{AB}, \phi_{BC}, \phi_{CA}$

物理的演算子 (符号化データに対応) ↔ 境界演算子

2次元双曲面を表す量子誤り訂正のテンソルネットワークを用いたトイモデル

⇒ **ホログラフィックペンタゴンコード** (HaPPY code)

1つのテンソルあたり, 境界側の自由度:5-qubit

バルク側の自由度: 1-qubit

特徴

- 量子誤り訂正により境界演算子からバルク演算子を再構成 (誤り訂正) できる
- 笠-高柳公式の離散版を厳密に再現する

完全テンソルと isometry

境界自由度：5-qubit, バルク自由度：1-qubit

6本足の完全テンソルからテンソルネットワークを構成

完全テンソル：

テンソル添字の任意の2分割 ($\{a_1, a_2, \dots, a_{2n}\} = \{A\} + \{A^c\}$, ただし $|A| \leq |A^c|$) に対しテンソル T が $T^\dagger T = I$ を満たすような A から A^c への isometry に比例

完全テンソルと isometry

境界自由度：5-qubit, バルク自由度：1-qubit

6本足の完全テンソルからテンソルネットワークを構成

完全テンソル：

テンソル添字の任意の2分割 ($\{a_1, a_2, \dots, a_{2n}\} = \{A\} + \{A^c\}$, ただし $|A| \leq |A^c|$) に対しテンソル T が $T^\dagger T = I$ を満たすような A から A^c への isometry に比例

完全テンソルの性質

$2n$ 個の足をもつ完全テンソルが記述する純粋状態は,

任意の n 個のスピンの残りの n 個のスピントが最大限エンタングルしている

↔ 笠-高柳公式の厳密な成立と関係 (cf. MERA : $S_A \leq (\text{const}) \cdot \log \chi$)

完全テンソルと isometry

境界自由度：5-qubit, バルク自由度：1-qubit

6本足の完全テンソルからテンソルネットワークを構成

完全テンソル：

テンソル添字の任意の2分割 ($\{a_1, a_2, \dots, a_{2n}\} = \{A\} + \{A^c\}$, ただし $|A| \leq |A^c|$) に対しテンソル T が $T^\dagger T = I$ を満たすような A から A^c への isometry に比例

完全テンソルの性質

$2n$ 個の足をもつ完全テンソルが記述する純粋状態は,

任意の n 個のスピンの残りの n 個のスピントが最大限エンタングルしている

↔ 笠-高柳公式の厳密な成立と関係 (cf. MERA : $S_A \leq (\text{const}) \cdot \log \chi$)

isometry の性質：演算子 O の押し出し

$$\begin{array}{c} \text{---} \boxed{O} \text{---} \boxed{T} \text{---} = \text{---} \boxed{T} \text{---} \boxed{O'} \text{---} \\ \text{---} \boxed{O'} \text{---} \equiv \text{---} \boxed{T^\dagger} \text{---} \boxed{O} \text{---} \boxed{T} \text{---} \end{array}$$

ホログラフィックペンタゴンコード

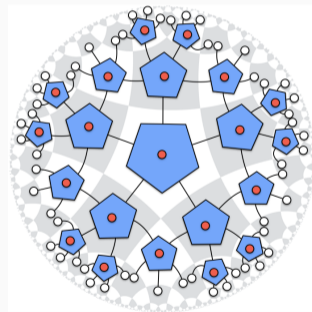
バルクの足 (ペンタゴン中央の足)

↔ ロジカル演算子 (元のデータ)

境界側の足

↔ 物理的演算子 (符号化データ)

テンソルネットワーク全体は、
バルクのロジカルインデックスから
境界の物理的インデックスへの isometry となる



[Pastawski et al., 2015]

バルク演算子の再構成

境界 A と、その測地線 γ_A^* の内部のテンソル P_A は P_A 内部のバルクの足と γ_A^* が切断する足を A に写す isometry とみなせる. (\because 完全テンソルの定義より)

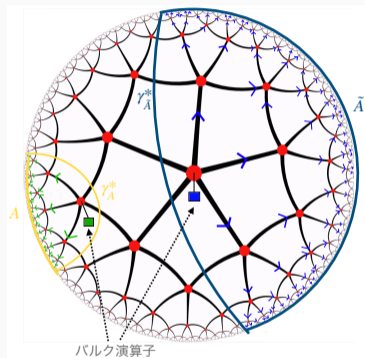
isometry による演算子 O の押し出し

$OP_A = P_A O'$ により

causal wedge (P_A 内のバルク点の集合) 内部のバルクにかかる演算子を境界に押し出せる.

この押し出された境界演算子を用いて **バルク演算子の再構成** が厳密にできる

境界の一部の情報があつても、バルク演算子は causal wedge 内であれば別の境界部分領域から再構成可能



([Pastawski et al., 2015] の図を一部改変)

Encoding a qudit at a point

Moving a distance ϵ away from $x = x_0$ we can encode a new q-level system because

$$\begin{aligned}\langle r', x_0 | r, x_1 \rangle &= \langle D(ipf_1 - ip'f_0) \rangle \\ &= \exp \left[-\frac{1}{2} (f_0 | f_0) \left(r^2 + r'^2 - 2rr' e^{-\frac{(x_0 - x_1)^2}{4\epsilon^2}} \right) \right] \\ &\ll 1 \quad \text{at small } \epsilon \text{ and } |x_0 - x_1| > \epsilon\end{aligned}$$

QEC for MERA

Isometry: V , Entangler: U

Encoding isometry $W = (V \otimes V \otimes \dots) \otimes (U \otimes U \otimes \dots): \mathcal{H}_{\text{IR}} \rightarrow \mathcal{H}_{\text{UV}}$

RG flow as a quantum channel: $\Phi(\mathcal{O}_{\text{UV}}) = W^\dagger \mathcal{O}_{\text{UV}} W$

RG flow of the operator

1st stage the size of its support shrinks monotonically till on just a single site

$$\Phi(\mathcal{O}_h) = \gamma^{-h} \mathcal{O}_h, \quad h: \text{conformal dim}$$

2nd stage the effect of the op gets exponentially weaker with the exponent $\nu = \log(\text{Re}\lambda_1)$,

λ_1 : largest eigenvalue of the op

$$|\Phi^s(\mathcal{O})| \leq \gamma^{-\Delta(s - \log |A|)} |\mathcal{O}|, \Delta: \text{smallest conformal dim}$$

in the IR,

$$\langle \Psi_r | \Phi^s(\mathcal{O}_i) | \Psi_{r'} \rangle \leq \epsilon_i = \gamma^{-\Delta(s - \log |A|)} |\mathcal{O}_i|$$

\Rightarrow AQEC condition (Knill-Laflamme condition)